

# Aufgaben zur Vorlesung

## Numerik II

Wintersemester 2012/13

### Übungsblatt 9

W.-J. Beyn

D. Otten

**Abgabe: Mittwoch, 12.12.2012, vor Beginn der Übung**

Übung: Mi. 12:15–13:45, V5-148

**Aufgabe 25:** [Lineares Zweischrittverfahren]

- a) Bestimmen Sie alle 6 Koeffizienten des linearen Zweischrittverfahrens

$$\frac{1}{h} \sum_{\nu=0}^2 a_{\nu} u^{j+\nu} = \sum_{\nu=0}^2 b_{\nu} f(t_{j+\nu}, u^{j+\nu}), \quad j = 0, 1, \dots, M-2,$$

so dass die maximale Konsistenzordnung  $p = 4$  vorliegt.

- b) Vergleichen Sie die erhaltene Formel mit der im Skript angegebenen Formeltabelle.  
c) Diskutieren Sie, ob sich dieses Verfahren und seine Ordnung auch aus Satz 3.1, Kap. III gewinnen lässt.

(6 Punkte)

**Aufgabe 26:** [Prädiktor-Korrektor Verfahren]

Sei  $f \in C^1([t_0, t_E] \times \mathbb{R}^n, \mathbb{R}^n)$  und  $\bar{u} \in C^{m+2}([t_0, t_E], \mathbb{R}^n)$  Lösung der Anfangswertaufgabe

$$u' = f(t, u), \quad t \in [t_0, t_E], \quad u(t_0) = u^0.$$

Zeigen Sie, dass ein Prädiktor–Korrektor Verfahren für diese Aufgabe die Konsistenzordnung  $m + 1$  hat, falls ein Adams–Bashforth–Prädiktor der Konsistenzordnung  $m$  und ein Adams–Moulton–Korrektor der Konsistenzordnung  $m + 1$  verwendet wird. Dabei ist  $m$  die Stufe der beiden Mehrschrittverfahren.

**Hinweis:** Man schreibe das Prädiktor–Korrektor Verfahren wie in der Vorlesung als nichtlineares Mehrschrittverfahren und setze die exakte Lösung ein.

(6 Punkte)

**Aufgabe 27:** [Lorenz-System mit Mehrschrittverfahren]

Lösen Sie mit den Adams–Bashforth–Verfahren der Ordnung 2 und 4 und der Schrittweite  $h = \frac{1}{100}$  das Lorenz-System

$$\begin{pmatrix} x \\ y \\ z \end{pmatrix}' = \begin{pmatrix} \sigma(y - x) \\ \lambda x - y - xz \\ -\mu z + xy \end{pmatrix}, \quad \begin{pmatrix} x(0) \\ y(0) \\ z(0) \end{pmatrix} = \begin{pmatrix} 1 \\ 4 \\ 9 \end{pmatrix}$$

für die Parameterwerte  $\sigma = 10$ ,  $\lambda = 28$ ,  $\mu = \frac{8}{3}$  und  $0 \leq t \leq 50$ .

Verwenden Sie für die Startwerte jeweils ein Einschrittverfahren derselben Ordnung.

Zeichnen Sie die Lösungen in ein  $(t, x)$ - bzw.  $(x, y, z)$ -Diagramm ein.

(6 Punkte)

# Numerik II

## Übungsblatt 09

### Lösungen:

#### Aufgabe 25:

Gegeben: Lineares Zweischrittverfahren

$$\frac{1}{h} \sum_{\nu=0}^2 a_{\nu} u^{j+\nu} = \sum_{\nu=0}^2 b_{\nu} f(t_{j+\nu}, u^{j+\nu}), \quad j=0, \dots, M-2$$

- Bestimmen Sie die 6 Koeffizienten so, dass Konsistenzordnung  $p=4$  vorliegt.
- Vergleichen Sie die erhaltene Formel mit der im Skript angegebenen Formel tabelle
- Diskutieren Sie, ob sich dieses Verfahren und seine Ordnung aus Kap III Satz 3.1 gewinnen lässt.

#### Lösung:

Zu a): Setze

$$P_k(s) := \frac{s^k}{k!} \Rightarrow P_k'(s) = \begin{cases} \frac{s^{k-1}}{(k-1)!}, & k \geq 1 \\ 0, & k=0 \end{cases}$$

Nach Kap III § 1.2. liegt Konsistenz der Ordnung 4 vor, falls (hier:  $p=4, m=2$ )

$$\sum_{\nu=0}^2 a_{\nu} P_k(\nu) - \sum_{\nu=0}^2 b_{\nu} P_k'(\nu) = 0 \quad \forall k=0, \dots, 4 \quad \& \quad \sum_{\nu=0}^2 b_{\nu} = 1.$$

Dies liefert uns das folgende Gleichungssystem

$$\begin{array}{l} k=0: \\ k=1: \\ k=2: \\ k=3: \\ k=4: \end{array} \begin{pmatrix} 1 & 1 & 1 & 0 & 0 & 0 \\ 0 & 1 & 2 & -1 & -1 & -1 \\ 0 & \frac{1}{2} & 2 & 0 & -1 & -2 \\ 0 & \frac{1}{6} & \frac{4}{3} & 0 & -\frac{1}{2} & -2 \\ 0 & \frac{1}{24} & \frac{2}{3} & 0 & -\frac{1}{6} & -\frac{4}{3} \\ 0 & 0 & 0 & 1 & 1 & 1 \end{pmatrix} \begin{pmatrix} a_0 \\ a_1 \\ a_2 \\ b_0 \\ b_1 \\ b_2 \end{pmatrix} = \begin{pmatrix} 0 \\ 0 \\ 0 \\ 0 \\ 0 \\ 1 \end{pmatrix}$$

Normierungsbedingung:

Mit der (eindeutigen) Lösung

$$\begin{pmatrix} a_0 \\ a_1 \\ a_2 \\ b_0 \\ b_1 \\ b_2 \end{pmatrix} = \begin{pmatrix} -\frac{1}{2} \\ 0 \\ \frac{1}{2} \\ \frac{1}{6} \\ \frac{2}{3} \\ \frac{1}{6} \end{pmatrix}$$

zu b): Dies entspricht gerade der Milne-Simpson Mehrstellenformel der Ordnung 4.

zu c): Fall 1: Wenden wir Fall 1 mit

$$m_0 = 0, \quad \nu_0 = 0, \quad \nu_1 = 2, \quad m = 2$$

aus, erhalten wir eine eindeutige Lösung von (3.4), (3.6) mit  $\underline{p = \nu_1 - \nu_0 + 1 = 3}$ , die durch

$$a_2 = -a_0 = \frac{1}{2}, \quad a_1 = 0, \quad b_0 = \frac{1}{6} = b_2, \quad b_1 = \frac{2}{3} \quad \text{nicht}$$

gegeben ist. Dies entspricht der Milne-Simpson Formel, jedoch der Konsistenzordnung 4.

Darüberhinaus kann in diesem Fall höchstens die Konsistenzordnung 3 erreicht werden.

Fall 2: Wenden wir Fall 2 mit

$$w_0 = 0, v_0 = 0, v_1 = 2, m = 2$$

an, so erhalten wir die eindeutige Lösbarkeit von (3.4), (3.6) mit

$$p = m - w_0 + v_1 - v_0 = 4.$$

Das Verfahren erhalten wir nun durch Anwenden von Aufgabe 2f, die besagt, dass  $a_1 = -a_1$ , also  $a_1 = 0$  gelten muss. Nun lässt sich das GJ (3.4), (3.6) mit  $p=4$  reduzieren und wegen der Eindeutigkeit, müssen die Koeffizienten durch die aus Fall 1 gegeben sein.

Aufgabe 26:

$$f \in C^1([t_0, t_E] \times \mathbb{R}^n, \mathbb{R}^n)$$

$$\bar{u} \in C^{m+2}([t_0, t_E], \mathbb{R}^n) \text{ Lösung von } u'(t) = f(t, u(t)), t \in [t_0, t_E], u(t_0) = u^0$$

Zeige:

Adams-Bashforth Prädiktor der Konsistenzordnung  $m$  } beide  $m$ -stufige MSV  
 und  
 Adams-Moulton Korrektor der Konsistenzordnung  $m+1$

$\Rightarrow$  Prädiktor-Korrektor-Verfahren hat Konsistenzordnung  $m+1$

Lösung:

1. Prädiktor: Bestimme  $v$

$$(26.1) \quad \frac{1}{h} \left( \sum_{\nu=0}^{m-1} a_\nu u^{j+\nu} + a_m v \right) = \sum_{\nu=0}^{m-1} b_\nu f(t_{j+\nu}, u^{j+\nu}), \quad j=0, \dots, M-m$$

Konsistenzfehler (bei  $t_j$ ):

$$(26.2) \quad \mathcal{T}_n^P(t_j) := \frac{1}{h} \sum_{\nu=0}^m a_\nu \bar{u}(t_{j+\nu}) - \sum_{\nu=0}^{m-1} b_\nu f(t_{j+\nu}, \bar{u}(t_{j+\nu})), \quad m \leq j \leq M-m$$

(setze  $\bar{u}(t_j)$  für  $u^j$  und  $\bar{u}(t_{j+m})$  für  $v$  ein)

$$\mathcal{T}_n^P(t_j) = \bar{u}(t_j) - \tilde{u}_j, \quad 0 \leq j \leq m-1$$

Konsistenz der Ordnung  $m$ :

$$(26.3) \quad \sup_{0 \leq j \leq M-m} |\mathcal{T}_n^P(t_j)| \leq C_P \cdot h^m.$$

2. Korrektor: Bestimme  $u^{j+m}$  aus

$$(26.4) \quad \frac{1}{h} \sum_{\nu=0}^m \alpha_\nu u^{j+\nu} = \sum_{\nu=0}^{m-1} \beta_\nu f(t_{j+\nu}, u^{j+\nu}) + \beta_m f(t_{j+m}, v), \quad j=0, \dots, M-m$$

Konsistenzfehler (bei  $t_j$ ): (setze  $\bar{u}(t_j)$  für  $u^j$  und  $\bar{u}(t_{j+m})$  für  $v$  ein)

$$(26.5) \quad \mathcal{T}_n^K(t_j) := \frac{1}{h} \sum_{\nu=0}^m \alpha_\nu \bar{u}(t_{j+\nu}) - \sum_{\nu=0}^m \beta_\nu f(t_{j+\nu}, \bar{u}(t_{j+\nu})), \quad m \leq j \leq M-m$$

Konsistenz der Ordnung  $m+1$ :

$$(26.6) \quad \sup_{0 \leq j \leq M-m} |\mathcal{T}_n^K(t_j)| \leq C_K \cdot h^{m+1}$$

$$\mathcal{T}_n^K(t_j) = \bar{u}(t_j) - \tilde{u}_j, \quad 0 \leq j \leq m-1$$

3. Prädiktor-Korrektor-Verfahren: Löse (26.1) nach  $v$  auf

$$v = \frac{1}{a_m} \sum_{\nu=0}^{m-1} (h b_\nu f(t_{j+\nu}, u^{j+\nu}) - a_\nu u^{j+\nu})$$

und setze dies in (26.4) ein

$$\begin{aligned} \frac{1}{h} \sum_{\nu=0}^m \alpha_{\nu} u^{j+\nu} &= \sum_{\nu=0}^{m-1} \beta_{\nu} f(t_{j+\nu}, u^{j+\nu}) \\ &+ \beta_m f(t_{j+m}, \frac{1}{a_m} \sum_{\nu=0}^{m-1} (h \beta_{\nu} f(t_{j+\nu}, u^{j+\nu}) - \alpha_{\nu} u^{j+\nu})) \\ &=: \Phi(t_{j+m}, u^j, \dots, u^{j+m}, h) \end{aligned}$$

Konsistenzfehler (bei  $t_j$ ): Aus (26.2) und (26.5) folgt (setze  $\bar{u}(t_j)$  für  $w$  ein)  $j=0, \dots, M-m$ .

$$\mathcal{I}_n^{PK}(t_j) = \bar{u}(t_j) - \tilde{u}_j, \quad 0 \leq j \leq m-1$$

$$\begin{aligned} \mathcal{I}_n^{PK}(t_j) &:= \frac{1}{h} \sum_{\nu=0}^m \alpha_{\nu} \bar{u}(t_{j+\nu}) - \sum_{\nu=0}^m \beta_{\nu} f(t_{j+\nu}, \bar{u}(t_{j+\nu})) \\ &+ \beta_m f(t_{j+m}, \bar{u}(t_{j+m})) - \beta_m f(t_{j+m}, \frac{1}{a_m} \sum_{\nu=0}^{m-1} (h \beta_{\nu} f(t_{j+\nu}, \bar{u}(t_{j+\nu})) - \alpha_{\nu} \bar{u}(t_{j+\nu}))) \\ &\quad \text{Taylorentw. von } w \text{ (im 2. Arg.)} \quad \quad \quad =: W \end{aligned}$$

$$\stackrel{(26.2)}{=} \mathcal{I}_n^K(t_j) + \beta_m \cdot \int_0^1 Df(t_{j+m}, w+s(\bar{u}(t_{j+m})-w)) ds \cdot (\bar{u}(t_{j+m})-w)$$

Satz von Taylor

$$\stackrel{(26.5)}{=} \mathcal{I}_n^K(t_j) + \frac{\beta_m}{a_m} \cdot h \cdot \int_0^1 Df(t_{j+m}, w+s(\bar{u}(t_{j+m})-w)) ds \cdot \mathcal{I}_n^P(t_j),$$

wobei

$$f(t_{j+m}, \bar{u}(t_{j+m})) = f(t_{j+m}, w) + \int_0^1 D_v f(t_{j+m}, w+s(\bar{u}(t_{j+m})-w)) ds \cdot (\bar{u}(t_{j+m})-w)$$

verwendet wurde, da  $f \in C^1$ . Dies liefert (für  $h$  so klein, dass  $|\mathcal{I}_n^P(t_j)| \leq \delta \quad \forall j \leq M-m$ )

$$\begin{aligned} |\mathcal{I}_n^{PK}(t_j)| &\leq |\mathcal{I}_n^K(t_j)| + \left| \frac{\beta_m}{a_m} \right| \cdot h \cdot \int_0^1 |D_v f(t_{j+m}, w+s(\bar{u}(t_{j+m})-w))| ds \cdot |\mathcal{I}_n^P(t_j)| \\ &\leq \sup_{t \in [t_0, t_1]} \sup_{\xi \in B_{\delta}(\bar{u}(t))} |D_v f(t, \xi)| \leq C_f \\ &\quad \text{Kompakt} \quad \quad \quad \uparrow \\ &\quad \quad \quad \text{Rec1} \end{aligned}$$

$$\begin{aligned} &\stackrel{(26.3) \& (26.6)}{\leq} C_K \cdot h^{m+1} + \left| \frac{\beta_m}{a_m} \right| \cdot h \cdot C_f \cdot C_P \cdot h^m \\ &= (C_K + \left| \frac{\beta_m}{a_m} \right| \cdot C_f \cdot C_P) h^{m+1} =: C_{PK} \cdot h^{m+1} \end{aligned}$$

und somit

$$\sup_{0 \leq j \leq M-m} |\mathcal{I}_n^{PK}(t_j)| \leq C_{PK} \cdot h^{m+1}$$

```

% Aufgabe 27
%% Initialisierung
sigma = 10;
lambda = 28;
mu = 8/3;
f = @(t,v) [sigma*(v(2)-v(1)); lambda*v(1)-v(2)-v(1)*v(3); -mu*v(3)+v(1)*v(2)];
Dvf = @(t,v) [-sigma sigma, 0;
              lambda-v(3) -1, -v(1);
              v(2) v(1) -mu];

u_init=[1;4;9];
t_init=0;
t_end=50;
h=1/100;

%% Adams-Bashforth of order 2
L=1;
M=2;
a=[0 -1 1]/L;
b=[-1 3 0]/M;
[tn_adamsbashforth2, un_adamsbashforth2]=AdamsBashforth(f,Dvf,u_init,t_init,
t_end,h,a,b);

%% Adams-Bashforth of order 4
L=1;
M=24;
a=[0 0 0 -1 1]/L;
b=[-9 37 -59 55 0]/M;
[tn_adamsbashforth4, un_adamsbashforth4]=AdamsBashforth(f,Dvf,u_init,t_init,
t_end,h,a,b);

%% Graphische Ausgabe
set(0,'DefaultAxesFontSize',15.0);
set(0,'DefaultTextFontSize',15.0);
figure
hold on
plot(tn_adamsbashforth2,un_adamsbashforth2(1,:),'r');
plot(tn_adamsbashforth4,un_adamsbashforth4(1,:),'b');
title('Loesung x(t) mit Adams-Bashforth');
xlabel('t'); ylabel('x(t)');
legend('2nd order','4th order','Location','Best');
hold off

figure
plot3(un_adamsbashforth2(1,:),un_adamsbashforth2(2,:),un_adamsbashforth2(
3,:),'r');
title(' [x(t),y(t),z(t)] ');
xlabel('x(t)'); ylabel('y(t)'); zlabel('z(t)');

figure
plot3(un_adamsbashforth4(1,:),un_adamsbashforth4(2,:),un_adamsbashforth4(
3,:),'b');
title(' [x(t),y(t),z(t)] ');
title(' [x(t),y(t),z(t)] ');
xlabel('x(t)'); ylabel('y(t)'); zlabel('z(t)');

```

```

function [tn,un] = AdamsBashforth(f,Dvf,u_init,t_init,t_end,h,a,b)
%ADAMSBASHFORTH loest loest Anfangswertprobleme der Form
%
%      u'(t) = f(t,u(t)), u(t_init) = u_init
%      mit (explizitem) Adams-Bashforth Verfahren (a,b)
%      zur konstanten Zeitschrittweite h auf dem endlichen
%      Zeitintervall [t_init,t_end].

%% Initialisierung
m=length(a)-1;           % m-Schrittverfahren
tn=t_init:h:t_end;      % diskretes Zeitintervall
time_steps=length(tn);  % Anzahl der Zeitschritte (d.h. M=time_steps)
space_dim=length(u_init); % Dimension der DGL, Raumdimension
un=zeros(space_dim,time_steps); % Speicherreservierung fuer RK-Iteration

%% Berechnung m-Anfangsdaten
% Zur Berechnung der Anfangsdaten soll ein Einschrittverfahren der selben
% Ordnung genommen werden.
p=m; % Erwartete Konsistenzordnung
if p==2
    % Euler-Box-Verfahren, Verfahren aus dem Skript Seite 61 (implizit, m=1,
p=2)
    %alpha=[1/2];
    %beta=[1/2];
    %gamma=[1];
    % [tn_ESV,un_ESV]=rk_implicit(f,Dvf,u_init,t_init,t_init+h*(m-1),h,alpha,
beta,gamma);
    % Heun-Verfahren (explizit, m=p=2)
    %alpha=[0;1];
    %beta=[0 0;1 0];
    %gamma=[1/2 1/2];
    % [tn_ESV,un_ESV]=rk_explicit(f,u_init,t_init,t_init+h*(m-1),h,alpha,beta,
gamma);
    % verbessertes Polygonzugverfahren (explizit, m=p=2)
    alpha=[0;1/2];
    beta=[0 0; 1/2 0];
    gamma=[0 1];
    [tn_ESV,un_ESV]=rk_explicit(f,u_init,t_init,t_init+h*(m-1),h,alpha,beta,
gamma);
elseif p==4
    % Klassisches Runge-Kutta-Verfahren (explizit, m=p=4)
    alpha=[0 1/2 1/2 1];
    beta=[0 0 0 0;1/2 0 0 0;0 1/2 0 0;0 0 1 0];
    gamma=[1/6 1/3 1/3 1/6];
    [tn_ESV,un_ESV]=rk_explicit(f,u_init,t_init,t_init+h*(m-1),h,alpha,beta,
gamma);
    % Verfahren aus dem Skript Seite 61 (implizit, m=2, p=4)
    %alpha=[(3-sqrt(3))/sqrt(6);(3+sqrt(3))/sqrt(6)];
    %beta=[1/4 1/4-sqrt(3)/6;1/4+sqrt(3)/6 1/4];
    %gamma=[1/2 1/2];
    % [tn_ESV,un_ESV]=rk_implicit(f,Dvf,u_init,t_init,t_init+h*(m-1),h,alpha,
beta,gamma);
else
    error(['Kein Einschrittverfahren der Ordnung p=',num2str(p),'
implementiert']);
end
un(:,1:m)=un_ESV;

```

```
%% Berechnung der Adams-Bashforth Iteration
M=time_steps;
for j=0:M-m-1
    sum_temp=zeros(space_dim,1);
    for nu=1:m
        sum_temp=sum_temp-a(nu)*un(:,j+nu)+h*b(nu)*f(tn(j+nu),un(:,j+nu));
    end
    un(:,j+m+1)=sum_temp/a(m+1);
end
end
```



```

function [tn,un] = rk_explicit(f,u_init,t_init,t_end,h,alpha,beta,gamma)
%RK_EXPLICIT loest Anfangswertprobleme der Form
%
%       u'(t) = f(t,u(t)), u(t_init) = u_init
%
%       mit expliziten Runge-Kutta Verfahren (alpha,beta,gamma)
%
%       zur konstanten Zeitschrittweite h auf dem endlichen
%
%       Zeitintervall [t_init,t_end].

%% Initialisierung
m=length(gamma);           % Stufe des RK-Verfahrens
tn=t_init:h:t_end;        % diskretes Zeitintervall
time_steps=length(tn);    % Anzahl der Zeitschritte
space_dim=length(u_init); % Dimension der DGL, Raumdimension
un=zeros(space_dim,time_steps); % Speicherreservierung fuer RK-Iteration
un(:,1)=u_init;           % Initialisierung der Anfangsdaten
k=zeros(space_dim,m);     % Speicherreservierung der k_i's

%% Explizites Runge-Kutta-Verfahren
for j=2:time_steps
    % 1. Rekursive Berechnung der k_i's
    for i=1:m
        temp_k=zeros(space_dim,1);
        for l=1:i-1
            temp_k=temp_k+beta(i,l)*k(:,l);
        end
        k(:,i)=f(tn(j-1)+alpha(i)*h,un(:,j-1)+h*temp_k);
    end

    % 2. Berechnung der u^j's
    temp_phi=zeros(space_dim,1);
    for i=1:m
        temp_phi=temp_phi+gamma(i)*k(:,i);
    end
    un(:,j)=un(:,j-1)+h*temp_phi;
end
end
end

```

```

function [tn,un] = rk_implicit(f,Dvf,u_init,t_init,t_end,h,alpha,beta,gamma)
%RK_EXPLICIT loest Anfangswertprobleme der Form
%
%       u'(t) = f(t,u(t)), u(t_init) = u_init
%
%       mit expliziten Runge-Kutta Verfahren (alpha,beta,gamma)
%
%       zur konstanten Zeitschrittweite h auf dem endlichen
%
%       Zeitintervall [t_init,t_end].

%% Initialisierung
m=length(gamma);           % Stufe des RK-Verfahrens
tn=t_init:h:t_end;        % diskretes Zeitintervall
time_steps=length(tn);    % Anzahl der Zeitschritte
space_dim=length(u_init); % Dimension der DGL, Raumdimension
un=zeros(space_dim,time_steps); % Speicherreservierung fuer RK-Iteration
un(:,1)=u_init;           % Initialisierung der Anfangsdaten
k=zeros(space_dim,m);     % Speicherreservierung der k_i's

%% Implizites Runge-Kutta-Verfahren
for j=2:time_steps

    % 1. Berechnung der k_i's durch Loesen eines nichtlinearen
    % Gleichungssystems
    % Startwert fuer das Newton-Verfahren: (im j-ten Schritt
    % k_i^0=f(t_j,u_j) fuer i=1..m)
    for i=1:m
        k(:,i)=f(tn(j-1),un(:,j-1));
    end
    % Mehrdimensionales Newton-Verfahren
    eps=10^(-7);
    max_newton_steps=20;
    n = 0;
    xn = k(:);
    yn = F(f,alpha,beta,xn,tn(j-1),un(:,j-1),h);
    while max(abs(yn))>eps
        n = n+1;
        zn = xn - DF(Dvf,alpha,beta,xn,tn(j-1),un(:,j-1),h)\yn;
        if norm(zn-xn)==Inf
            error('Newton method has not converged: Overflow.')
        end
        xn=zn;
        yn = F(f,alpha,beta,xn,tn(j-1),un(:,j-1),h);
        if n>max_newton_steps
            error('Newton method has not converged: Maximal number of iterations
reached.')
        end
    end
    k(:,j)=xn;

    % 2. Berechnung der u^j's
    temp_phi=zeros(space_dim,1);
    for i=1:m
        temp_phi=temp_phi+gamma(i)*k(:,i);
    end
    un(:,j)=un(:,j-1)+h*temp_phi;
end
end

```

```

%% Function F
function z = F(f, alpha, beta, k, t, v, s)
    d=length(v);
    m=length(alpha);
    z=zeros(d*m,1);
    for i=1:m
        % Berechnung der Argumente von f
        temp_phi=zeros(d,1);
        for j=1:m
            temp_phi=temp_phi+beta(i,j)*k((j-1)*d+1:j*d);
        end
        % Berechnung von F_i
        z((i-1)*d+1:i*d,1)=f(t+alpha(i)*s,v+s*temp_phi)-k((i-1)*d+1:i*d);
    end
end

%% Function DF
function A = DF(Df, alpha, beta, k, t, v, s)
    m=length(alpha);
    d=length(v);
    A=zeros(d*m,d*m);
    for i=1:m
        % Berechnung der Argumente von Df
        temp_phi=zeros(d,1);
        for j=1:m
            temp_phi=temp_phi+beta(i,j)*k((j-1)*d+1:j*d);
        end
        % Berechnung von DF_ij
        for j=1:m
            if i==j
                A((i-1)*d+1:i*d,(j-1)*d+1:j*d)=Df(t+alpha(i)*s,v+s*temp_phi)*s*beta
                (i,j)-eye(d,d);
            else
                A((i-1)*d+1:i*d,(j-1)*d+1:j*d)=Df(t+alpha(i)*s,v+s*temp_phi)*s*beta
                (i,j);
            end
        end
    end
end

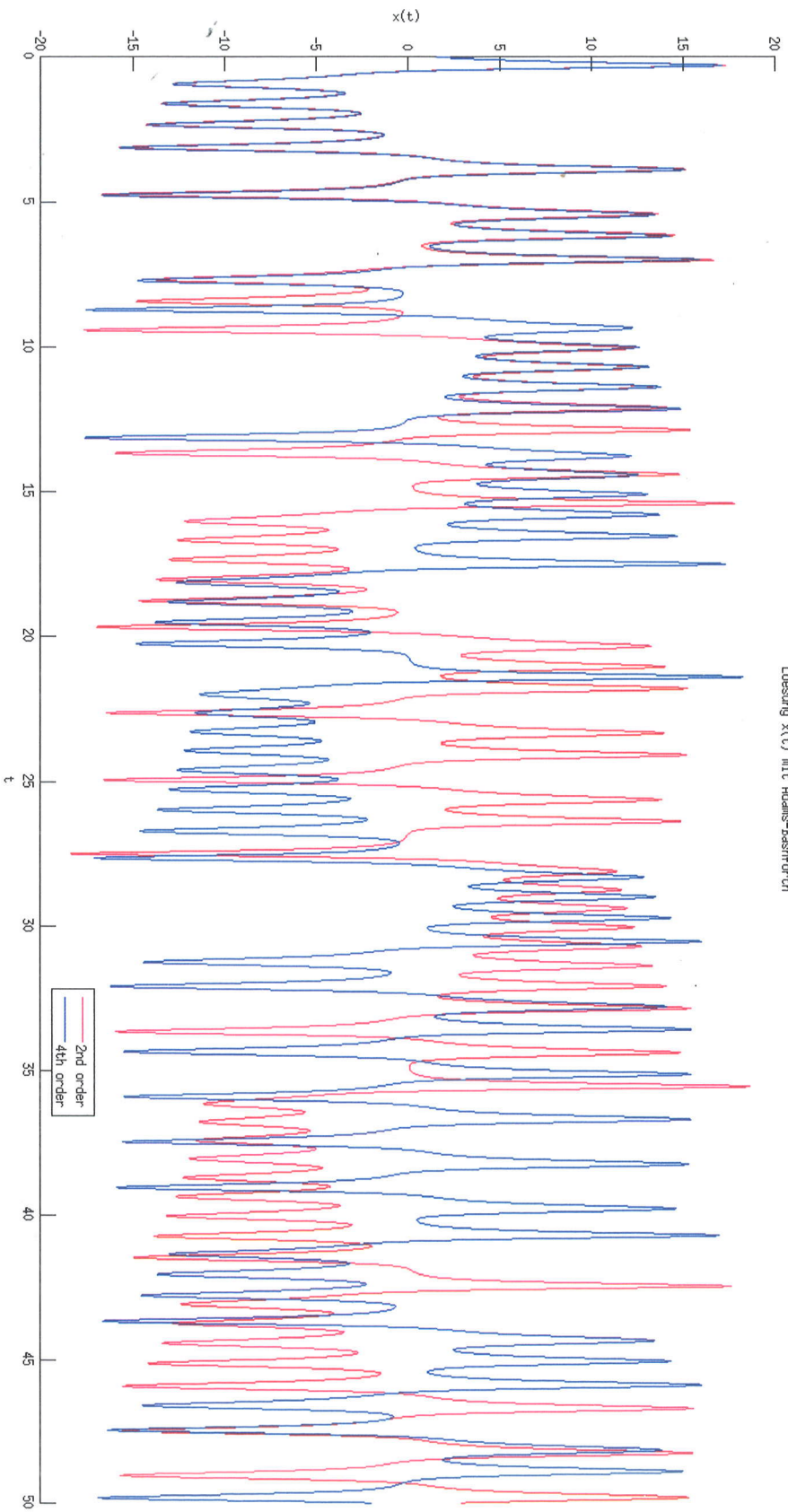
%% Newton-Verfahren:
function [nst,n]=newton(F,DF,x0,eps,newton_einfach)
%NEWTON1D Eindimensionales Newton-Verfahren zur Berechnung von Nullstellen
% einer Funktion F
% F : Funktion
% dF : Ableitung der Funktion
% x0 : Startwert
% eps : Genauigkeit
% newton_einfach : 0 = Newton-Verfahren
% : 1 = vereinfachtes Newton-Verfahren
% nst : Nullstelle der Funktion
% n : Anzahl der benoetigten Iterationen

    n = 0;
    xn = x0;
    yn = F(xn);

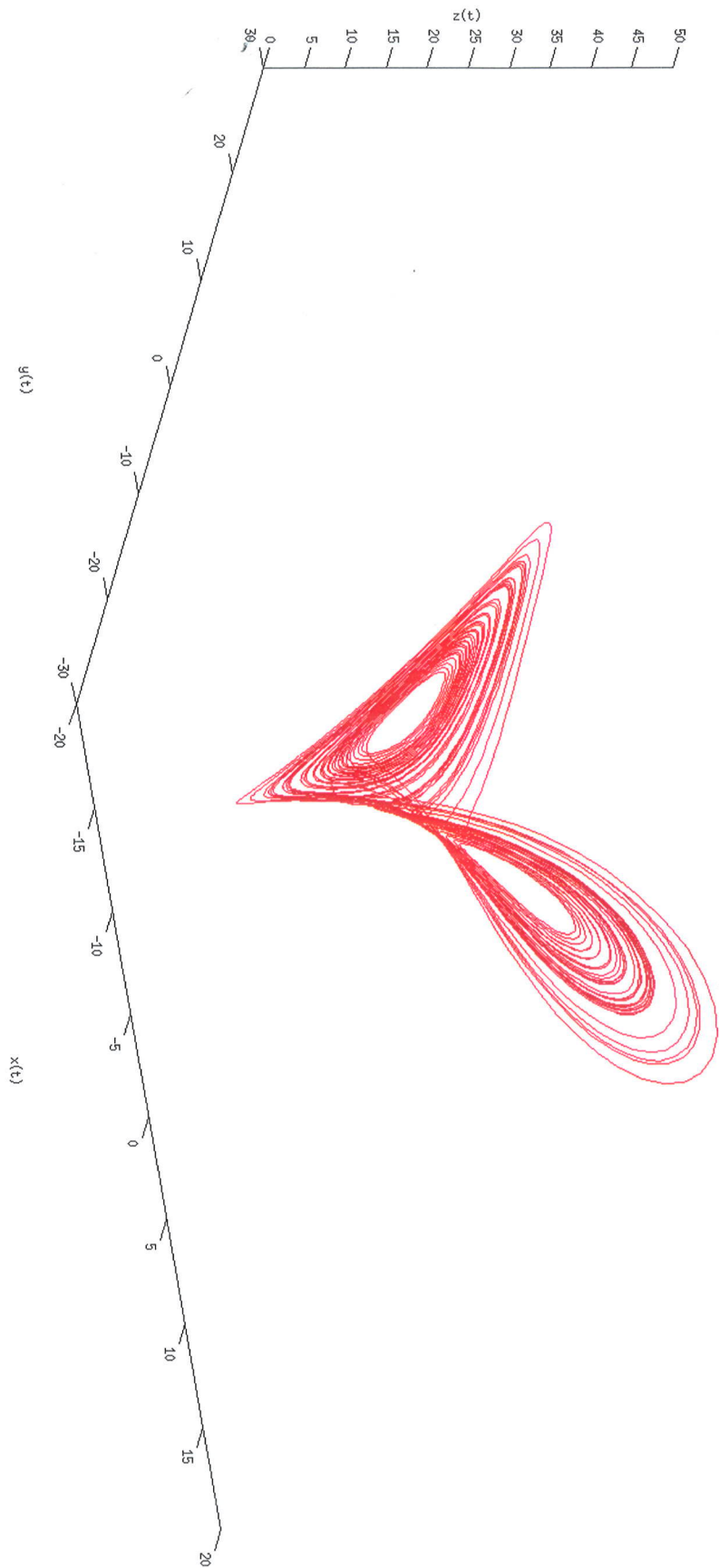
```

```
if newton_einfach
    A0=DF(x0);
    while max(abs(yn))>eps
        n = n+1;
        %xn = xn - GSV(A0,yp,10^(-10));
        %xn = xn - LR(A0,yn,1);
        xn = xn - A0\yn;
        yn = F(xn);
    end
else
    while max(abs(yn))>eps
        n = n+1;
        %xn = xn - GSV(dF(xn),yn,10^(-10));
        %xn = xn - LR(dF(xn),yn,1);
        xn = xn - DF(xn)\yn;
        yn = F(xn);
    end
end
end
nst=xn;
end
```

Loesung  $x(t)$  mit Adams-Bashforth



[x(t),y(t),z(t)]



[x(t),y(t),z(t)]

